

大阪大学工学部 丘 眞 村岡浩典
大阪大学工学部 原住 昭 O 榮 藤谷 浩

序 河川合流部は一次元解析における河川の特殊部である。木理施設など不定流の問題では水位および流速分布が川幅方向に比較的均一に一致するため応用的に問題ないが、木理施設の場合には物質の濃度は川幅方向に混合が緩慢であるため、一次元解析として Taylor の bulk diffusion としての解釈が疑問となる。本研究では本川、支川の合流モデルで合流後の物質分散を計測して濃度分布特性を明らかにし、Fischer の convective period と比較して一次元解析の妥当性を検討した。

1 施設装置と木理諸元 施設水路は図-1 に示すように本川幅 $B = 40\text{ cm}$ の正方形断面で本川合流角度 θ は本川に対し $30^\circ, 60^\circ, 90^\circ$ の三種である。支川に染料物質としてフシオシセインナトリウム ($C_0 = 3\text{ ppm}$) を上流より連続投入して定常濃度流とし、section 1 ~ 6 において横断方向に平均濃度を計測した。本川は管径約 1 m のガラス管水路で $10\text{ m} \sim 20\text{ m}$ の行程を行なわれ、トレーサー濃度は染料濃度計によって得られた。木理諸元は表-1 に示す。

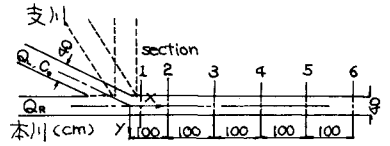


図-1 実験水路平面図

表-1 木理諸元

本川流量 Q_m	$0, 3 \text{ l/sec}$
支川流量 Q_s	$1.5, 3, 4.5, 6 \text{ l/sec}$
流量比 $p = Q_s/Q_m$	$0.5, 1.0, 1.5, 2.0, \infty$
平均水深 H (合流後)	$10.0 \sim 11.3 \text{ cm}$
フルード数 F (合流後)	$0.070 \sim 0.205$

$p = \infty$ は $Q_m = 0 \text{ l/sec}$, $Q_s = 3 \text{ l/sec}$ を意味する。

2 濃度分布 合流後の河川断面で得た濃度分布を、代表として $\theta = 30^\circ$ の場合について示したのが図-2 である。流量比 p との対比でこの分布形の特徴をまとめると以下の通りである。

(i) $p = \infty$ の場合には合流直後においてはほぼ一様な分布形を示している。

(ii) 同じ流下距離を離れた地点においては、 p が大きい程横断方向によく混合している。

(iii) p が同じ場合、同じ流下距離を離れた地点においては θ が大きい程横断方向によく混合している。

(iv) 合流角度 θ には関係なく、 $p = \infty$ の場合には合流直後においてはほぼ一様な分布形を示している。

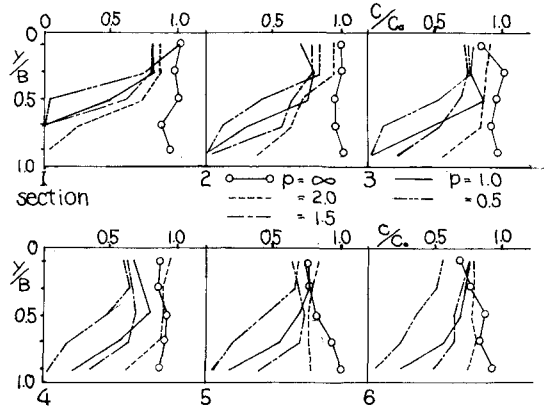


図-2 濃度の横断方向分布

3 分布の歪み係数 合流による濃度分布形は支川側左岸に濃度が高く、本川側右岸に低いという限られた歪み方を示す。したがって分布形の歪み程度を示す歪み係数

$$\gamma = \frac{\int_0^B (c - \bar{c})^2 dy}{\bar{c}^2 B} \quad \text{----- (1)}$$

ただし \bar{c} : 濃度の水路幅平均

を導入すると、 γ はいろいろな分布形にも適用できるが特に合流後の分布形が幾何学的に類似することからそれを重点的に評価することが可能と考えられる。この観点から濃度分布を求めると図-3 が得られる。内題は

りの値がいかなる値にならば現象が一次元的とみなせるかという限界値を把握することであるが、これについて不確定式で用いられる漸近係数の考え方を利用する。すなわち流速が平均流速に対して場所的に変化するための補正として図中の α_1 , エネルギー漸近係数 α_2 , 速度漸近係数 α_3 ,

$$\left. \begin{aligned} \alpha_1 &= \int_A \left(\frac{U}{U}\right)^3 d\left(\frac{A}{A_0}\right) \\ \alpha_2 &= \int_A \left(\frac{U}{U}\right)^2 d\left(\frac{A}{A_0}\right) \end{aligned} \right\} (2)$$

を考へる。図-4は併記したいくつかの分布形に対し、

(1)式の α を U に代えて U に置きかえて得られた漸近係数 α_1, α_2 を計算したものである。通常 α_1, α_2 は約1.1以内で利用されることからそれぞれに対する $\alpha = \alpha_2 = 0.05$ が速度分布の無理な一次元解が得られる限界値と併記される。

4 time scale による比較 一次元解の妥当性検討に備えるもう一つの方法はFischerによるtime scale 理論を参考にすることである。すなわちFischerは拡散源からの初期拡散と流れによる遷移が卓越する convective period, 一次元解が bulk diffusion として適用できる later period に分け、前者を規定する Lagrangian Time Scale T は幅のある水路において次式のように誘導した。

$$T = 0.3 \frac{l^2}{R U_*} \quad \text{----- (3)}$$

ただし l : 水路代表長, R : 径深, U_* : 摩擦速度

Fischerは物理・数値定数の結果, convective periodの大きさ $t_c = 6T$ とせよこれは拡散距離にして、

$$L_c = 1.8 \frac{l^2 U_*}{R U_*} \quad \text{----- (4)}$$

となる。今筆者らの実験において、 l を水路幅 B として(4)式により L_c を計算すると $L_c = 11.7 \sim 12.6m$ の値をとる。図-5は $\alpha = 0.05, 0.10, 0.15$ と仮定して図-3より読み取った拡散距離を再度 θ , 流量比 p で整理したものである。これによると大体次のようなことが推測できる。

- (i) 合流角度, 流量比が大きい程拡散距離は短かい。
- (ii) $p = 2.0$ の場合, 合流角度によらずほぼ1mの拡散距離で一致している。
- (iii) 拡散距離は1~5mとなっておりFischerの拡散距離とは相当遠, たゞを明示しているが, これはFischerが拡散源と直線水路に与えたのに対し, 筆者らは合流角度を替, 在水路に拡散物質を投入したため, 拡散距離が短くなるのは当然だとと思われる。

5 結論 以上のように漸近係数を導入することによって, 合流後の一次元解が可能なとみなせるまでの拡散距離を合流角度, 流量比について定量的に把握することができた。今後は, 拡散距離に合流角度, 流量比をどのようにパラメーターとして導入するかが大きな問題になってくると思われる。

謝辞 この研究に助けた阪大工学 室田教授より数々の御意見と議論を蒙った。ここに厚く謝意を表す。

参考文献 Hugo, B. Fischer: The Mechanics of Dispersion in Natural Streams, 1967

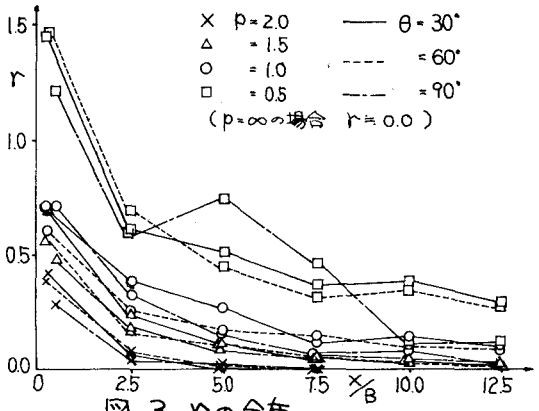


図-3 rの分布

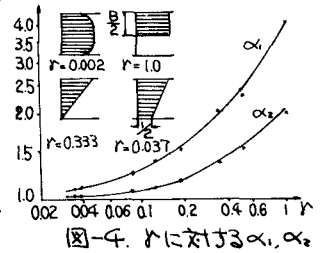


図-4 α に対する α_1, α_2

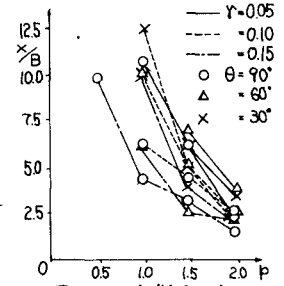


図-5 拡散距離